

## Feuilletages orthogonaux du tore à feuilles fermées

par JEAN-MARIE LION (Rennes)

*À la mémoire de Stanisław Łojasiewicz et de René Thom*

**Abstract.** We give examples of pairs of orthogonal vector fields with closed orbits in every homotopy class of pairs of transversal vector fields on a two-dimensional riemannian torus.

**1. Introduction.** On considère sur un tore  $(\mathbb{T}, g)$  de dimension 2 muni d'une métrique riemannienne de classe  $C^k$ ,  $k = 2, \dots, \infty, \omega$ , une paire de feuilletages transverses  $(\mathcal{F}_1, \mathcal{F}_2)$  à feuilles toutes fermées. On associe à chaque feuilletage  $\mathcal{F}_i$  la famille  $\mathcal{X}_i$  des champs de vecteurs sans singularité dont les orbites sont les feuilles de  $\mathcal{F}_i$ . La famille  $\mathcal{X}_i$  est bien sûr non vide et si  $X \in \mathcal{X}_i$  alors  $\mathcal{X}_i$  est égale à la famille des champs  $fX$  avec  $f : \mathbb{T} \rightarrow \mathbb{R}$ ,  $C^k$  et sans zéro.

On définit la relation d'équivalence suivante. Deux paires  $(\mathcal{F}_1, \mathcal{F}_2)$  et  $(\mathcal{F}'_1, \mathcal{F}'_2)$  sont équivalentes s'il existe une isotopie  $H : [0, 1] \times T \rightarrow T$  qui permet de passer de la première à la seconde paire. La classe d'équivalence d'une paire  $(\mathcal{F}_1, \mathcal{F}_2)$  est caractérisée par la classe d'isotopie d'une paire  $(V_1, V_2)$  constituée d'une feuille de chacun des deux feuilletages. Puisque  $\mathcal{F}_1$  et  $\mathcal{F}_2$  sont des feuilletages non singuliers et transverses de  $\mathbb{T}$ ,  $V_1$  et  $V_2$  sont homotopiquement non triviales et ne sont pas homotopes. L'objectif de ce texte est de répondre à une question de Guy Métivier en montrant qu'une paire de feuilletages transverses  $(\mathcal{F}_1, \mathcal{F}_2)$  à feuilles toutes fermées est toujours équivalente à une paire de feuilletages orthogonaux à feuilles toutes fermées.

**THÉORÈME.** *Soit  $(\mathbb{T}, g)$  un tore  $\mathbb{T}$  muni d'une métrique  $g$  de classe  $C^k$ ,  $k = 2, \dots, \infty, \omega$ , et  $\gamma_1, \gamma_2$  deux courbes fermées simples de  $\mathbb{T}$ , non homotopes et non homotopiquement triviales. Il existe sur  $\mathbb{T}$  deux feuilletages  $C^k$ , non singuliers, orthogonaux dont les feuilles sont des courbes fermées homotopes à  $\gamma_1$  ou  $\gamma_2$ .*

---

2000 *Mathematics Subject Classification:* 37C10, 57R25, 14P15.

*Key words and phrases:* vector field, torus, riemannian metric, analytic geometry, isothermal coordinates, closed orbit.

Cet théorème doit beaucoup à Dominique Cerveau. Il m'a parlé de la question de Guy Métivier, puis nous avons eu de nombreuses discussions qui m'ont aidé à trouver la démonstration qui suit. Je le remercie très sincèrement.

On utilise le langage classique des feuilletages qu'on peut trouver dans [Go] par exemple.

**2. Preuve du théorème.** Observons qu'on peut se restreindre au cas d'un tore plat. En effet, notre problème ne dépend pas totalement de la métrique  $g$  mais seulement de sa classe conforme. Or le théorème d'existence de coordonnées isothermes (Gauss dans le cas analytique, Ahlfors et Bers dans des cas plus généraux; voir [Ha] par exemple) assure que tout tore est conformément équivalent à un tore plat. Cet argument ne vaut qu'en dimension deux.

Un tore plat est le quotient de  $\mathbb{R}^2$  muni de la métrique euclidienne par un réseau et la classification conforme des tores plats se fait par leurs modules. Aussi, par homotopie et similitude on peut supposer :

- L'axe  $\mathbb{R}\mathbf{u}$  (avec  $\mathbf{u} = (1, 0)$ ) est une composante connexe du relevé de  $\gamma_1$  dans  $\mathbb{R}^2$ .
- Le tore  $\mathbb{T}$  est le quotient de  $\mathbb{R}^2$  par  $\mathbb{Z}\mathbf{u} + \mathbb{Z}\mathbf{v}$  avec  $\mathbf{v} = (\lambda, \mu)$  où  $0 \leq \lambda < 1$  et  $\mu > 0$ .
- Une composante connexe du relevé de  $\gamma_2$  est la droite  $\mathbb{R}(p\mathbf{u} + q\mathbf{v})$  avec  $p \in \mathbb{Z}$ ,  $q \in \mathbb{N}^*$  et  $p + \lambda q \geq 0$ . La courbe  $\gamma_2$  s'enroule  $p$  fois parallèlement à  $\mathbf{u}$  et  $q$  fois parallèlement à  $\mathbf{v}$ .

On représente dans la figure 1 les traces des relevés de  $\gamma_1$  et  $\gamma_2$  dans un domaine fondamental.

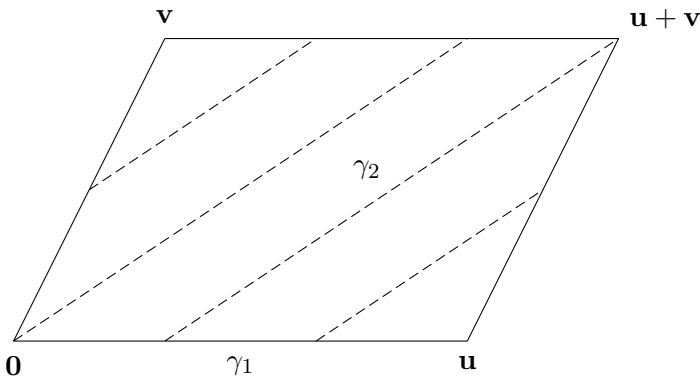


Fig. 1. Domaine fondamental,  $\gamma_1$  et  $\gamma_2$  avec  $p = 2$  et  $q = 3$

On va rechercher une solution parmi les paires de feuilletages orthogonaux sur le tore qui se relèvent en des paires de feuilletages orthogonaux de  $\mathbb{R}^2$ ,

invariants sous l'action du groupe de Lie des translations dirigées par les vecteurs de la droite  $\mathbb{R}(r\mathbf{u} + \mathbf{v})$  (où  $r \in \mathbb{N}$  est fixé plus loin) et invariants sous l'action des translations de vecteurs  $\mathbf{u}$  et  $\mathbf{v}$ .

Si  $p + \lambda q = 0$  alors les feuilletages en droites horizontales et verticales induisent sur le tore une paire de feuilletages solution.

On suppose dorénavant que  $p + \lambda q > 0$ .

On note  $\mathcal{F}$  le feuilletage affine de  $\mathbb{R}^2$  en droites parallèles à  $p\mathbf{u} + q\mathbf{v}$  et de pente euclidienne égale à  $q\mu/(p + \lambda q)$ . Il passe au quotient en un feuilletage  $\mathcal{F}_{\mathbb{T}}$  du tore dont les feuilles sont des courbes fermées homotopes à  $\gamma_2$ . En revanche, généralement les orbites de l'unique feuilletage orthogonal à  $\mathcal{F}_{\mathbb{T}}$  ne sont pas fermées.

Soit  $r \in \mathbb{N}$  tel que  $\mu/(r + \lambda) < q\mu/(p + \lambda q)$ . Soient  $\delta^+$  et  $\delta^-$  les droites dirigées par  $r\mathbf{u} + \mathbf{v}$  et qui passent respectivement par les points  $\mathbf{v}/r$  et  $0$ . Le feuilletage affine  $\mathcal{F}$  est transverse à  $r\mathbf{u} + \mathbf{v}$ . On note  $h : \delta^+ \rightarrow \delta^-$  l'holonomie associée à  $\mathcal{F}$  qui à  $x \in \delta^+$  associe l'unique point de  $\delta^-$  qui est sur la même feuille de  $\mathcal{F}$ . C'est une translation vers la gauche : il existe  $\tau < 0$  tel que si  $(x_1, x_2) \in \delta^+$  alors  $h(x) = (y_1, y_2)$  avec  $y_1 = \tau + x_1$ .

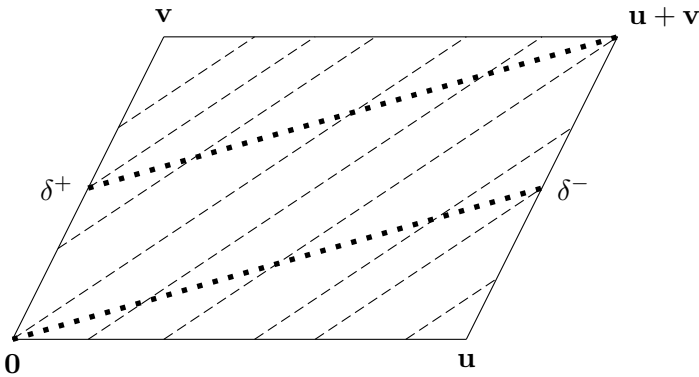


Fig. 2. Feuilles de  $\mathcal{F}$  et les droites  $\delta^+$ ,  $\delta^-$  avec  $p = 2$ ,  $q = 3$  et  $r = 2$

Nous allons construire notre exemple de la façon suivante. Le feuilletage horizontal est invariant sous l'action du groupe de Lie des translations dirigées par les vecteurs de la droite  $\mathbb{R}(r\mathbf{u} + \mathbf{v})$  et des translations de vecteurs  $\mathbf{u}$  et  $\mathbf{v}$ . Il passe au quotient en un feuilletage du tore dont les feuilles sont des courbes fermées homotopes à  $\gamma_1$ . Nous allons le déformer continûment en préservant cette invariance pour obtenir un feuilletage dont le feuilletage orthogonal aura la même holonomie que  $\mathcal{F}$ .

On considère une fonction  $f : \mathbb{R} \rightarrow \mathbb{R}$ , analytique, 1-périodique et qui vérifie :

$$(1) \text{ si } x \in [0, 1/2[ \cup ]1/2, 1], \quad -(r + \lambda)/\mu < f'(x) < \mu/(r + \lambda),$$

(2)  $f(1/2) = 0$  et  $f'(1/2) = -(r + \lambda)/\mu$ .

Par exemple si  $\lambda = 0$ ,  $\mu = 2$  et  $0 < p/q < r = 1$  alors  $f(x) = \sin(2\pi x)/4\pi$  convient.

On déduit de (1) que le graphe de  $\varepsilon f$  est transverse aux droites parallèles à  $r\mathbf{u} + \mathbf{v}$  et n'est jamais orthogonal à ces droites si  $\varepsilon \in [0, 1[$ . En revanche, le graphe de  $f$  est partout transverse aux droites parallèles à  $r\mathbf{u} + \mathbf{v}$  mais il est orthogonal à la direction  $r\mathbf{u} + \mathbf{v}$  en  $(1/2, 0)$  d'après (2). On associe donc à la fonction analytique  $\varepsilon f$  un feuilletage analytique  $\mathcal{G}_\varepsilon$  de  $\mathbb{R}^2$  défini de la façon suivante. Ses feuilles sont les translatés du graphe de  $\varepsilon f$  parallèlement à  $r\mathbf{u} + \mathbf{v}$ . Par passage au quotient on obtient sur le tore  $\mathbb{T}$  un feuilletage analytique, non singulier  $\mathcal{G}_{\mathbb{T}\varepsilon}$  dont les feuilles sont en raison de la périodicité de  $f$  des courbes fermées homotopes à  $\gamma_1$ . On note  $\mathcal{G}_\varepsilon^\perp$  le feuilletage orthogonal à  $\mathcal{G}_\varepsilon$ . Le feuilletage  $\mathcal{G}_{\mathbb{T}\varepsilon}^\perp$  obtenu par passage au quotient est orthogonal à  $\mathcal{G}_{\mathbb{T}\varepsilon}$ .

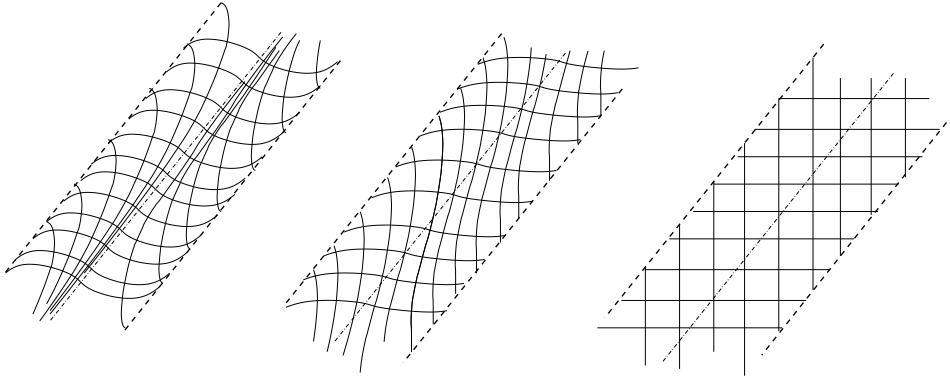


Fig. 3. Les feuilles de  $\mathcal{G}_{\mathbb{T}\varepsilon}$  et  $\mathcal{G}_{\mathbb{T}\varepsilon}^\perp$  entre  $\delta^+$  et  $\delta^-$  lorsque  $\varepsilon = 1$ ,  $0 < \varepsilon < 1$  et  $\varepsilon = 0$

Montrons qu'on peut choisir  $\varepsilon \in [0, 1[$  de telle sorte que les feuilles du feuilletage  $\mathcal{G}_{\mathbb{T}\varepsilon}^\perp$  soient des courbes fermées homotopes à  $\gamma_2$ .

D'après (1), si  $\varepsilon \in [0, 1[$ , le feuilletage  $\mathcal{G}_\varepsilon$  n'est jamais orthogonal aux droites parallèles à  $r\mathbf{u} + \mathbf{v}$  et donc le feuilletage orthogonal  $\mathcal{G}_\varepsilon^\perp$  est transverse à ces droites. De plus, chaque feuille de  $\mathcal{G}_\varepsilon^\perp$  coupe une et une seule fois toute droite parallèle à  $r\mathbf{u} + \mathbf{v}$ . L'application d'holonomie  $h_\varepsilon : \delta^+ \rightarrow \delta^-$  associée à  $\mathcal{G}_\varepsilon^\perp$  est donc bien définie : c'est l'application qui à chaque point de  $\delta^+$  associe l'unique point de  $\delta^-$  qui est sur la même feuille de  $\mathcal{G}_\varepsilon^\perp$ . C'est une translation car  $\mathcal{G}_\varepsilon^\perp$  est invariant sous l'action de  $\mathbb{R}(r\mathbf{u} + \mathbf{v}) + \mathbb{Z}\mathbf{v}/r$  : il existe  $a_\varepsilon \in \mathbb{R}$  tel que si  $(x_1, x_2) \in \delta^+$  alors  $h_\varepsilon(x) = (y_1, y_2)$  avec  $y_1 = a_\varepsilon + x_1$ . La fonction  $\varepsilon \in [0, 1[ \mapsto a_\varepsilon$  est continue,  $a_0 = 0$  et en raison de (2) on a  $\lim_{\varepsilon \rightarrow 1^-} a_\varepsilon = -\infty$ . Ainsi  $a_\varepsilon$  décrit tout l'intervalle  $] -\infty, 0]$  (et peut-être plus), lorsque  $\varepsilon$  décrit l'intervalle  $[0, 1[$ . On choisit  $\varepsilon$  tel que  $a_\varepsilon = \tau$ . Dans ce cas  $h_\varepsilon = h$ . Puisque  $\mathcal{G}_\varepsilon^\perp$  et  $\mathcal{F}$  sont invariants sous l'action de  $\mathbb{R}(r\mathbf{u} + \mathbf{v}) + \mathbb{Z}\mathbf{v}/r$ , les feuilles de  $\mathcal{G}_{\mathbb{T}\varepsilon}^\perp$  sont homotopes à celles de  $\mathcal{F}_{\mathbb{T}}$  : ce sont des courbes fermées homotopes à  $\gamma_2$ .

**3. Une famille explicite.** On conserve les notations de la partie précédente. Les données sont donc  $\mathbf{u}, \mathbf{v}, \lambda, \mu, p, q$  et un entier  $r$  tel que  $\mu/(r + \lambda) < q\mu/(p + \lambda q)$ . On pose  $\alpha = \mu/(r + \lambda)$ . On définit alors sur  $\mathbb{R}^2$  les deux familles de champs de vecteurs

$$\begin{aligned}
 X_\varepsilon &= \left(1 - \frac{\varepsilon}{1 + \alpha^2} \cos(2\pi(x - y/\alpha))\right) \frac{\partial}{\partial x} - \frac{\varepsilon\alpha}{1 + \alpha^2} \cos(2\pi(x - y/\alpha)) \frac{\partial}{\partial y}, \\
 Y_\varepsilon &= \frac{\varepsilon\alpha}{1 + \alpha^2} \cos(2\pi(x - y/\alpha)) \frac{\partial}{\partial x} \\
 &\quad + \left(1 - \frac{\varepsilon}{1 + \alpha^2} \cos(2\pi(x - y/\alpha))\right) \frac{\partial}{\partial y} = X_\varepsilon^\perp
 \end{aligned}$$

où  $\varepsilon \in [0, 1]$ .

À  $\varepsilon$  fixé, ces deux champs sont orthogonaux, invariants sous l'action du groupe de Lie des translations dirigées par les vecteurs de la droite  $\mathbb{R}(r\mathbf{u} + \mathbf{v})$  et invariants sous l'action des translations de vecteurs  $\mathbf{u}$  et  $\mathbf{v}$ . Un petit calcul montre que si  $\varepsilon \neq 1$  les champs  $X_\varepsilon$  et  $Y_\varepsilon$  sont transverses aux droites parallèles à  $r\mathbf{u} + \mathbf{v}$ . Le champ  $X_1$  est lui aussi transverse à ces droites. Ce n'est pas le cas du champ  $Y_1$ , qui est parallèle à la direction  $r\mathbf{u} + \mathbf{v}$  le long des droites du type  $\mathbb{R}(r\mathbf{u} + \mathbf{v}) + k\mathbf{v}/r$ ,  $k \in \mathbb{Z}$ , qui sont  $Y_1$ -invariantes. Par passage au quotient ils définissent des paires de champs de vecteurs orthogonaux sur le tore  $\mathbb{T}$ . Il existe une fonction  $f$  associée à  $X_1$  comme dans la partie précédente et pour chaque  $\varepsilon \in [0, 1]$  il existe une fonction  $f_\varepsilon$  associée à  $X_\varepsilon$ .

La situation est différente de celle de la partie précédente car maintenant  $f_\varepsilon$  ne s'exprime pas très facilement en fonction de  $f$ , c'est seulement  $X_\varepsilon$  qui dépend affinement de  $\varepsilon$ . Cependant, en faisant une analyse semblable à celle de la partie 2 on montre qu'il existe  $\varepsilon$  tel que la paire de feuilletages du tore associée à la paire  $(X_\varepsilon, Y_\varepsilon)$  vérifie les conclusions du théorème. L'intérêt de cet exemple explicite est qu'il est intégrable. Si on se restreint au traces des solutions dans le domaine fondamental engendré par les directions  $\mathbf{u}$  et  $\mathbf{v}$ , alors les solutions appartiennent à la clôture pfaffienne [Sp] de la structure o-minimale engendrée par la restriction de la fonction sinus à l'intervalle  $[0, 2\pi]$ .

**4. Une petite question de Ludwig Bröcker.** Pour finir, je mentionne une jolie question que Ludwig Bröcker a posée à la suite de mon exposé de mars 2004 au colloque RAAG de Cracovie. Il demande si on peut préciser le théorème de la façon suivante. Étant donné  $\mathbb{T}, \gamma_1, \gamma_2$ , est-ce que la famille des paires  $(\mathcal{F}_1, \mathcal{F}_2)$  vérifiant les conclusions du théorème est connexe? À ma connaissance le problème reste ouvert, même si on se limite aux paires  $(\mathcal{F}_1, \mathcal{F}_2)$  qui se relèvent en des paires invariantes sous l'action du groupe de Lie des translations dirigées par les vecteurs de la droite  $\mathbb{R}(r\mathbf{u} + \mathbf{v})$  (avec  $r \in \mathbb{N}$  ad hoc) et sous l'action des translations de vecteurs  $\mathbf{u}$  et  $\mathbf{v}$ .

**Bibliographie**

- [Go] C. Godbillon, *Feuilletages. Études géométriques*, Progr. Math. 98, Birkhäuser, Basel, 1991.
- [Ha] P. Haïssinsky, *Définition de la quasi-conformité*, prépublication, 2001.
- [Sp] P. Speissegger, *The Pfaffian closure of an o-minimal structure*, J. Reine Angew. Math. 508 (1999), 189–211.

IRMAR, UMR 6625 CNRS  
Université Rennes 1  
35042 Rennes Cedex, France  
E-mail: jean-marie.lion@univ-rennes1.fr

*Reçu par la Rédaction le 12.10.2004*

(1622)